# 面向综合作业调度的簇群优化算法

應 昊<sup>1</sup> 李正光<sup>1</sup> 陈 恒<sup>1</sup> 李远刚<sup>2</sup> WEI Hao LI Zhengguang CHEN Heng LI Yuangang

### 摘要

传统遗传算法不仅易出现早熟现象,而且计算实际应用中的大规模综合作业调度解效率较差。通过研究遗传编码规律和并行计算原理,提出了一种簇群并行遗传算法。利用簇群抱团思想对种群进行划分,将划分后的种群分布到不同的并行机上运行,以此提高初始种群的多样性,保证算法的执行效率和搜索空间。同时,设计了一种动态种群调整策略,在各"簇"种群趋于局部最优时自动调整种群结构,从而达到全局收敛。在FT10问题和一组综合作业调度数据上的仿真结果表明,算法在保证寻优速度的同时提高了解的稳定性。

关键词

早熟现象;编码规律;并行遗传算法;簇群;全局收敛

doi: 10.3969/j.issn.1672-9528.2024.04.017

#### 0 引言

遗传算法是经典的仿生优化算法,在求解作业车间调度中有广泛的应用<sup>[1]</sup>。然而,传统遗传算法在求解综合作业调度问题时,因为算法本身的并行性限制和任务的复杂性,常常导致效率低下,所以学者根据遗传算法的内在并行性,提出了并行遗传算法<sup>[2-4]</sup>。

并行遗传算法是对传统遗传算法的一种改进和扩充,是对遗传算法的天然并行性的显式运用,基于并行机原理并采用多种群协同进化,在一定程度上提高了解的质量和求解速度,然而,并行遗传算法没有根本解决遗传算法易出现早熟<sup>[5]</sup>的缺点,同时还必须考虑到通信开销问题。

综合作业调度(comprehensive job-shop scheduling problem,CJSSP)<sup>[6-7]</sup> 是同时考虑加工与装配、装配零件和组件的一类复杂调度问题。CJSSP 问题在实际生产中较为常见,但对按照工艺布局、具有装配作业排序的生产调度问题,现有的研究成果很少,零散见于一些调度相关的论文中,其中大多数是基于规则的调度研究<sup>[8-10]</sup>。

本文在研究遗传算法解决作业车间调度问题(job-shop scheduling problem,JSSP)的编码规律基础和经济学中的"集群"思想上,针对 CJSSP 问题和早熟现象,提出了一种簇群并行遗传算法(parallel genetic algorithm based on dividing

[基金项目] 辽宁省高等学校基本科研项目"基于异构图知识 嵌入的生物医学实体关系抽取研究" (LJKMZ20221550)

population, PGABDP)。算法通过将具有相同特征的个体集中在一起形成子群,并利用调整策略自动调整子群的组成,保证了群体的多样性,有效减少了陷入局部最优的可能性;通过对各个子群中的近优解的收集和释放,提高了寻优的速度。实验表明,本文算法在提高解的质量、降低陷入局部最优的概率、提高算法的收敛速度上有了较大的提高。

#### 1 簇群并行遗传算法

本文算法由服务端程序和并行机程序组成,初始时根据 并行机数量和簇群思想将种群划分为若干个子群。算法框架 如图 1 所示。

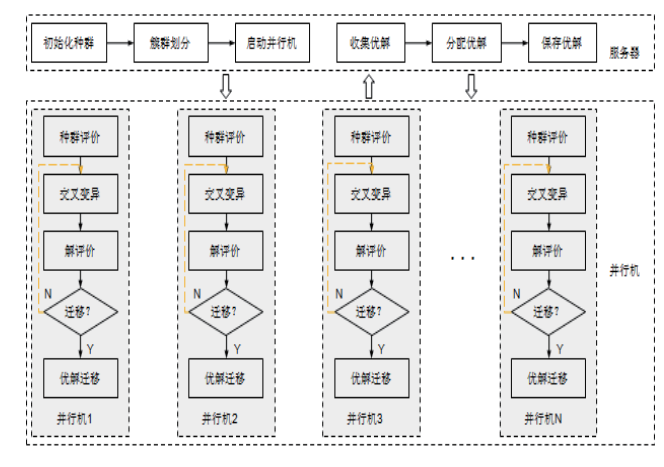


图 1 算法运行框架

#### 1.1 簇群划分法

在生态学中,有一种"集群现象",指在一定的区域或 环境里,各种生物按照特定的规律结合在一起的生物系统。 纵观人类的发展史,可以发现,一个部落大部分人的姓氏是

<sup>1.</sup> 大连外国语大学软件学院 辽宁大连 116044

<sup>2.</sup> 大连外国语大学一带一路城市与区域发展研究院 辽宁大连 116044

一样的,说明部落是一个"集群"组织。正是在研究集群现象的基础上,经济学中提出了产业(集)群的思想并得到成功运用,产业集群不仅包括地理聚集,还包含产业特性。

目前,应用比较广泛的聚类分析,其目的就是发现样本 点之间的"抱团"性质,这种"抱团"也是集群的一种体现。 集群和聚类都可以用一个统一概念簇群来描述。

定义 1: 簇群 E 是依据一定规则来划分的具有相同特征的若干个体的集合。

换言之,簇群是一个子群,这个子群中的每个个体具有相同的特征。同时,簇群根据分类规则不同,可以产生不同的簇群。

簇群数量将对算法的收敛结果和算法的收敛速度产生重要影响,如果簇群很多,那么势必会显著增加彼此间的通信开销,反之,很可能降低算法的收敛效果。在综合作业调度中,工件数量不会太多,因此本文的算法按照如下规则进行自动划分簇群:

$$X = \begin{cases} J & J > 1 \\ M & M=1 \end{cases}$$
 (1)

式中: X是簇群数, J是工件数, M是工件下的装配体数。

为了描述簇群划分算法先作如下假设。

设 C 个簇群分别为  $c_1, c_2, \cdots, c_X$ ,根据公式(1)可知,  $c_i(i=1,2,\cdots,X)$  与工件  $J_i$  或者装配体  $M_i$  对应,为了表示算法,都用工件  $J_i$  表示。

设每个工件  $J_i$  都有  $O_i$  个工序,每个簇群中的初始个体数量为  $Pop\ Num$ ,则簇群  $c_i$  的生成算法描述如下。

Step1: 生成  $O_i O_j$ , 即首先生成簇群  $c_i$  所对应工件的工序番号:

Step2: 生成  $O_k \uparrow J_k (k=1, 2, \dots, X, k \neq i)$ ;

Step3: 重复 Step2 直至所有的工件都处理完毕;

Step4: 打乱个体中除第1个基因外的基因值顺序;

Step5: 重复 Step1  $\sim$  Step4,直至生成  $Pop\_Num$  个个体结束。

#### 1.2 动态簇群调整策略

每个簇群内进化初期寻优的速度会很快,但是到了中后期,由于遗传算法的缺陷,很容易陷入局部优解而徘徊不前。 为了克服这个问题,就需要在进化过程中不断地监控簇群并适时调整簇群,以在保留簇群特征的同时提高簇群的多样性。 本文使用簇群染色体的带权海明距离计算染色体的相似度,并进一步使用带权海明距离来评价簇群的多样性。

假设基于工序编码染色体的长度为L, 共有M个工件,第k个领域的种群规模为N, 领域的权值为 $\omega_k$ 。

定义 2 (帯权海明距离)设染色体  $A_1=(a_1^1, a_2^1, \dots, a_1^1)$  和  $A_2=(a_1^2, a_2^2, \dots, a_1^2)$ , $a_1^i \in (1, M)$ ,(1, M) 则染色体  $A_1$  和染色体  $A_2$ 

间的海明距离定义为  $H(A_1,A_2) = \omega_k \sum\limits_{i=1}^{L} \left| \frac{a_i^1 - a_i^2}{\mathsf{M}} \right|$ 。

定义 3 (染色体相似)设簇群中有 2 条染色体  $A_1$  和  $A_2$  的适应度值分别为  $f_1$  和  $f_2$ ,若  $H(A_1,A_2) \le C_1$  且  $|f_1\cdot f_2| \le C_2$ ,其中  $C_1$  和  $C_2$  是 2 个常数,则这 2 条染色体相似,记作  $A_1 \approx A_2$ ,否则记作  $A_1 \ne A_2$ 。

定义 4 (簇群多样)对于簇群中的任意 2 条染色体  $A_1$  和  $A_2$ ,定义  $p = \begin{cases} 0 & A_1 \neq A_2 \\ 1 & A_1 \approx A_2 \end{cases}$ 。 簇群的多样程度用  $S_k = \frac{1}{N!}\sum_{m=1}^{N!}p$  表示,

若  $S_k \leq C_3$ , 其中  $C_3$  是常数,则表示该簇群具有多样性。

簇群的调整分为两部分:一部分是服务机分配给该簇群的优解,使用优解对簇群进行一定的调整,称之为簇群间调整;另一部分是根据簇群多样性程度自动调整,称之为簇群内调整。

假设该簇群接收到 n 个优解,记为  $y_i$  (i=1,2,…,n),而 簇群内个体记为  $p_i$  (i=1,2,…,N)。

簇群间调整流程为:

Step1: 是否接收到优解,若是则转 Step2,否则继续簇群内进化:

Step2: 优解  $y_i$  是否来自于自身簇群,若是则不予调整; 否则转 Step3;

Step3: 若  $y_i \approx p_i$  (i=1, 2, ···, N),则不予调整,否则转 Step4;

Step4: 将 $y_i$ 的第1个基因与第1个基因值 =t的基因交换,改变后的染色体记为 $y_i'$ ,用 $y_i'$ 替换 $p_i$ 。

Step5: 重复 Step2、Step3 和 Step4, 直至所有的优解都处理完毕。

簇群内调整流程为如下几步。

Step1: 计算群体的多样性,若群体不具有多样性,则转Step2,否则继续簇群内进化;

Step2: 若  $p_i \approx p_{i-1}$  ( $i=N, N-1, \dots, N/3$ ) 则重新生成一条第 1个基因值 =k 的染色体,记作  $p_i$ ',用  $p_i$ ' 替换  $p_i$ 。

Step3: 重复 Step2, 直至  $p_i \neq p_{i-1}$  ( $i=N, N-1, \dots, N/3$ ) 或 i < N/3。

#### 2 仿真与结果分析

本文算法在 VS2015 上实现,结合 RCP 技术和 TCP/IP 协议实现并行机制。硬件采用 4 台电脑,一台为服务器,另三台作为并行机。

#### 2.1 理论仿真

本文在理论上采用 FT10 对算法进行验证, FT10 问题有10 个工件,每个工件具有 10 道工序,由于实验设备有限,实验参数设置如表 1 所示。

表 1 参数设置

No.	Range	PopSize	$P_c$	$P_{m}$
1	1 ~ 4	40	0.4	0.05
2	5 ~ 7	30	0.4	0.05
3	8 ~ 10	30	0.4	0.05

其中,Range 表示领域范围,PopSize 是种群规模, $p_c$  交 叉概率, $p_c \in [0.1, 1]$ , $p_m$  是变异概率, $p_m \in [0.01, 0.1]$ 。

PGA 与本文算法的比较如图 2 所示。由图 2 可知,本文算法在第 50 代左右解趋于稳定,而 PGA 一直处于波动状态。本文算法和 PGA 都在 45 代左右找到了最优解。所以本文算法不仅保证了寻找解的速度,而且提高了解的稳定性。

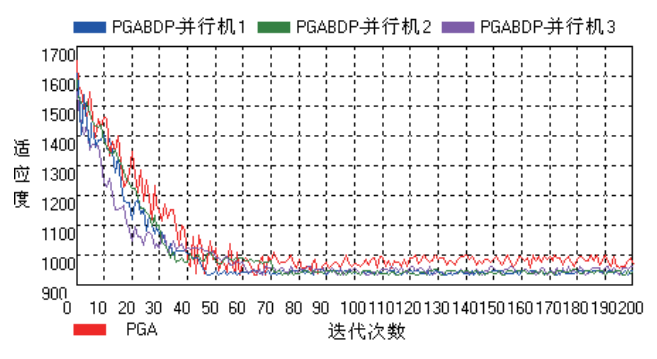


图 2 PGA 与 PGABDP 的比较

#### 2.2 实际仿真

#### 2.2.1 数据及参数配置说明

本文实际仿真部分使用 3 个工件,每个工件下由若干的零件和配件组成,零件由若干道工序组成。3 个工件的组成结构如图 3 所示。其中,方框内的数字表示工程编号(工程可能是零件的一道工序,也可能是一个完整配件),结点的连接关系表示工程的前后约束关系,如 102 与 101、103 的关系就是 102 的前驱工程是 101,后继工程是 103;101、102、103 表示了一个零件的 3 道工序。

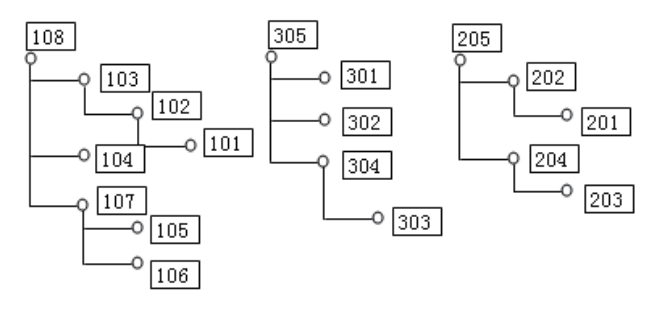


图 3 工件结构

每个工程主要由加工或装配所在的部门、需要的数量、 完成1个需要的工作时间和完成1个需要的工作量组成。每 个工程的详细信息如表2所示。工程信息中涉及的部门是一 种虚拟部门,部门中只有人或机械。而实际部门中不仅有机 械,而且有人,所以算法在进行实际验证时,首先将部门拆 解为虚拟部门。上述工程信息中涉及的部门初始信息如表 3 所示,休息日信息如表 4 所示。

表 2 工程信息

编号	种别	内外 区分	人部门 编码	机械部 门编码	数量	时间 / 天	人负荷 /(人·天)	机械负荷 /(台·天)
101	机械	加工	All0A	M100LV	1	3	9	3
102	机械	加工	All0A	M100LV	1	2	4	2
103	机械	加工	All0A	M100LV	1	3	12	3
104	人	外购	_	_	2	5	25	_
105	人	装配	A120A	_	2	2	20	_
106	人	装配	A110A	_	2	4	24	_
107	人	装配	A110A	_	2	5	20	_
108	人	装配	A110A	_	1	6	18	_
201	机械	加工	All0A	M100LV	1	5	25	5
202	人	装配	A120A	_	1	3	15	_
203	机械	加工	All0A	M100LV	1	6	24	6
204	人	装配	A120A	_	1	5	5	_
205	人	装配	A120A	_	1	3	12	_
301	人	装配	A120A	_	3	3	15	_
302	人	装配	A120A		1	4	28	
303	机械	加工	All0A	M100LV	1	5	10	5
304	机械	加工	All0A	M100LV	1	5	10	5
305	人	装配	A120A	_	1	4	24	_

表 3 部门初始信息

部门编码	部门种别	工作时间	单价	能力
M100LV	机械	1	5	5
All0A	人	1	10	10
A120A	人	1	10	10

表 4 休息日信息

年	月	休息日
2021	9	4,5,11,12,18,19,25,26
2021	10	1,2,3,9,10,16,17,23,24,30,31
2021	11	6,7,13,14,20,21,27,28

部门的初始信息主要由部门编码、工作时间、单价和能力组成。其中,部门编码与工程信息中的部门编码保持一致;工作时间是指1天的工作时间,它依据算法实际设定的时间单位而进行改变,譬如时间单位若是天,工作时间就是1,时间单位若是小时,则工作时间就是8;单价是指一个人或一台机械做单位时间的工作量所需要支付的费用;能力是指这个部门拥有的人数或机械数。

算法启动所必需的参数为排产方式。其中,排产方式 1 是指排产方式的基准,共有 2 种方式: (1) 顺推:根据一个产品的出图日期或设定日期,顺着 0 时间往后逐步得出工程的开工时间和完工时间; (2) 倒推:根据一个产品的交货期,逆着时间逐步往前得出工程的完工时间和开工时间。

排产方式2是指在排产方式1下各个部门的能力分配

规则,共有3种方式: (1)均分:每个时间单位干的工作量尽量保持一致; (2)变动:每个时间单位干的工作量在一个设定的范围内变化; (3)满能力:尽量占用每个时间单位的能力。

本文分别采用顺推和均分方式进行。

#### 2.2.2 求解结果

通过本文算法进行求解,其中一条近优解的染色体为: 2, 2, 2, 2, 1, 3, 1, 3, 2, 1, 3, 3, 1, 3, 1, 1, 1, 1, 对应的加工装配顺序为 201, 202, 203, 204, 101, 301, 102, 302, 205, 103, 303, 304, 104, 305, 105, 106, 107, 108。相应能力负荷甘特图如图 5 所示。通过图 4 和图 5 可以看出,本文算法在解决加工和装配并存的实际日程展开问题上是有效的。



图 4 实际问题寻优过程

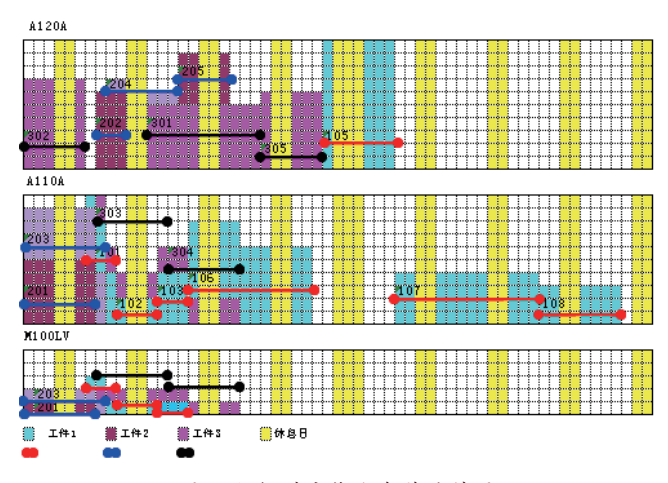


图 5 优解对应能力负荷甘特图

#### 3 结论

本文针对装配和加工同时存在的综合作业调度问题,在分析"集群"现象和遗传算法的编码规律的基础上,提出了簇群并行遗传算法(PGABDP)。该算法生成初始种群后,依据簇群原理,将相似的种群分配在同一台并行机上,以提高收敛速度。同时,不断将每台并行上的优解收集到服务器上,然后进行二次分配,以促使各并行机进化,避免过早收敛。

最后使用理论数据和实际数据对算法进行了仿真验证,实验结果表明,本文算法能够快速找到最优解且有利于提高解的稳定性。下一步将着重研究比较有效的分类规则,以期达到更好的效果。

#### 参考文献:

- [1] 王凌. 车间调度及其遗传算法 [M]. 北京:清华大学出版 社.2003.
- [2] 何婷婷, 戴文华, 焦翠珍. 基于混合并行遗传算法的文本聚类研究[J]. 中文信息学报, 2007, 21(4):55-60.
- [3]KRZYSZTOF P. Hybrid multi-evolutionary algorithm to solve optimization problems[J]. Applied artificial intelligence, 2020, 34(7): 550-563.
- [4]DMITRI I A, DI W, TAO W, et al. A parallel genetic algorithm framework for transportation planning and logistics management[J]. IEEE access, 2020,8:106506-106515.
- [5] 王成栋,朱永生,张优云.自适应伪并行遗传算法及其性能分析[J]. 小型微型计算机系统,2004,19(3):65-69.
- [6] 王玉芳, 缪昇, 马铭阳, 等. 改进混合遗传算法的作业车间 调度研究 [J]. 现代制造工程, 2021(5):32-38.
- [7] 王林平, 贾振元, 王福吉, 等. 综合作业调度问题基于可行域的遗传算法[J]. 大连理工大学学报, 2011,51(2):205-209.
- [8]KUANG T, HU Z, XU M. A genetic optimization algorithm based on adaptive dimensionality reduction[J]. Mathematical problems in engineering, 2020:8598543.
- [9]AHMED A A, OCTAVIA A D, ANA G A, et al. Task scheduling for mobile edge computing using genetic algorithm and conflict graphs[J]. IEEE transactions on vehicular technology, 2020, 69(8): 8805-8819.
- [10]VAHID J, VAHAB N, MOHAMMAD H R. Analysis of parallel genetic algorithm and parallel particle swarm optimization algorithm UAV path planning on controller area network[J]. Journal of control, automation and electrical systems, 2020, 31:129-140.

## 【作者简介】

飕昊(1993—),男,山东济南人,讲师,博士,研究方向: 自然语言处理、群智能优化算法。

李正光 (1980—), 通信作者 (email: lizhengguang2004 @163.com), 男,四川资阳人,讲师,博士,研究方向:文本挖掘、群智能优化算法。

(收稿日期: 2024-01-18)